**Thesis** 

# 細胞間接着による Gab-1 のチロシンリン酸化

# 埼玉医科大学総合医療センター第一内科学教室

(指導:吉田 行雄教授) 篠原 将彦

Gab-1 は HGF/SF 受容体である c-Met や,EGF レセプター等の受容体型チロシンキナーゼによってチロシンリン酸化を受けるマルチプルドッキングタンパク質である。今回我々は,E-カドへリンによる細胞間接着機構を解析するため,Gab-1 のチロシンリン酸化について検討した.細胞間接着はGab-1 のチロシンリン酸化を増加させ,その破綻は Gab-1 のチロシンリン酸化を減少させた.抗 E-カドへリン抗体は細胞間接着依存性の Gab-1 のチロシンリン酸化を減少させ,E-カドへリンの発現は Gab-1 のチロシンリン酸化を増加させた.選択的な Src ファミリーキナーゼの阻害剤は細胞間接着依存性の Gab-1 のチロシンリン酸化を減少させ,この酵素の活性を阻害する C-terminal Src キナーゼのドミナントネガティブ変異体の強制発現は Gab-1 のチロシンリン酸化を増加させた.細胞間接着の破綻は Gab-1 のチロシンリン酸化を減少させ,同時に細胞間接着に反応する MAP キナーゼや Akt 活性を減少させた.これらの結果から E-カドへリン依存性の細胞間接着は,Src ファミリーキナーゼによって Gab-1 のチロシンリン酸化を増加させ,Ras/MAP キナーゼと PI3 キナーゼ /Akt カスケードの活性を調節していることが示された $^{57}$ .

#### 緒言

細胞間接着部位に存在するタンパク質には細胞の接 着や移動を司る様々な重要な機能がある1-5). 上皮細胞 の細胞間接着部位には密着結合 (tight junction, タイト ジャンクション),接着結合 (adherens junction,アド ヘレンスジャンクション),接着班(desmosome,デス モソーム) からなる特別な膜構造があり、中でもアド ヘレンスジャンクションには Ca<sup>2+</sup>依存性の細胞間接 着分子であるカドヘリンが存在し<sup>2, 5, 6)</sup>,細胞間接着 において中心的な役割を果たしている (Fig. 1). カド ヘリンは Ca<sup>2+</sup>依存性に同じ細胞膜上にある 2 つのカ ドヘリン分子が横に結合することでシス二量体を形 成し、シス二量体が別の細胞膜のシス二量体とトラン ス結合することで細胞同士が接着する7-11.カドヘリ ンの細胞内領域のC末端は $\beta$ -カテニンと結合し、 $\beta$ -カテニンはさらに $\alpha$ -カテニンと結合する(Fig. 1).  $\alpha$ -カテニンは直接 F-アクチンに結合するが<sup>12)</sup>、その N 末端側で他の F-アクチン結合タンパク質であるビン キュリン,  $\alpha$ -アクチニンと C 末端側でタイトジャン クションを構成する膜裏打ちタンパク質の ZO-1 と結 合し $^{17}$ , これらを介してさらに F-アクチンと結合する経路も存在する. カドヘリンとアクチン骨格への連結は, カドヘリンを基軸とした細胞間接着をより強固にしている $^{2,5,6,18}$ .

一方,カドヘリン-カテニン系は細胞間接着だけで はなく、シグナル伝達機構においても重要な役割を 果たしている. β-カテニンは形態形成や癌との関係 で注目されている Wnt シグナル伝達経路において重 要な役割を演じていることが示された<sup>19)</sup>. カドヘリン -カテニン系は細胞間接着部位に存在するタンパク質 のチロシンリン酸化部位に結合することが示唆され ている. 実際,  $\alpha$ -,  $\beta$ -,  $\gamma$ -カテニンと p120 カテニン 全てが上皮型のカドヘリン (E-カドヘリン) の細胞内 領域と直接的または間接的に結合し、癌遺伝子である v-src 導入により形質転換した細胞 $^{20-22)}$ や、上皮細胞増 殖因子 (epidermal growth factor; EGF) や肝細胞増殖 因子/細胞分散因子(hepatocyte growth factor/scatter factor; HGF/SF) に応答し<sup>23)</sup>, チロシンリン酸化される ことが知られている.カドヘリン-カテニン系は、EGF 受容体や EGF 受容体に類似する c-erb-B-2 癌遺伝子 産物と複合体を作ることが示されており24,25, 受容体 型チロシンホスファターゼである LAR-PTP (protein

医学博士 甲第860号 平成15年3月28日(埼玉医科大学)

T2 篠原 将彦

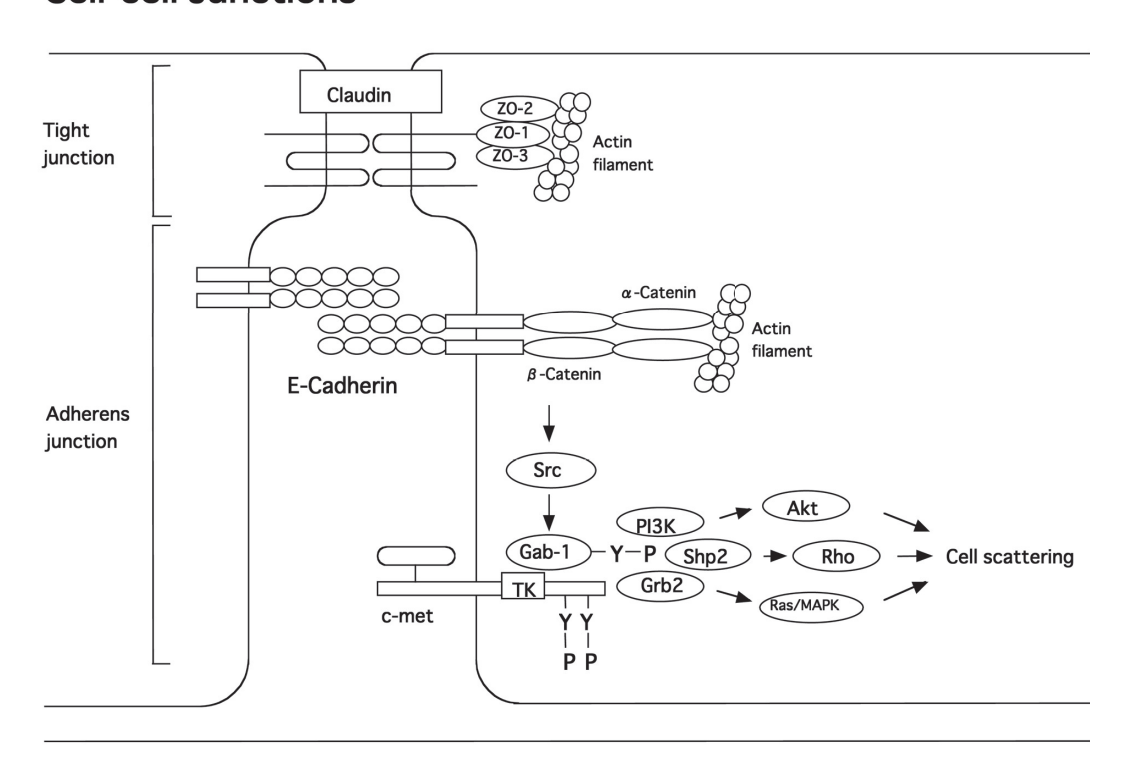
tyrosine phosphatase), PTP  $\mu$ , PTP1B 様 ホスファターゼ、チロシンリン酸化タンパク質のホスファターゼである SHP-2 (Src homology 2-containing protain tyrosine phosphatase-2) もまたカドへリン-カテニン系と連結することが示されている $^{26-28)}$ . カテニンと p120カテニンのチロシンリン酸化の増加は細胞の形質転換や増殖因子刺激による分裂での細胞間接着活性の減少と関連している $^{29,30)}$ . しかし、カドへリン結合タンパク質のチロシンリン酸化が細胞間接着の調節にどのように関係しているかはまだ明らかではない.

Gab-1(Grb2 associated binder-1) は HGF/SF, EGF, インスリン, インスリン様増殖因子のような様々な増殖因子に反応し, Grb2 (Growth factor receptor bound protein 2) や SHP-2 及び PI3 キナーゼ (phosphatidyl inositol 3 kinase; PI3K) の p85 サ ブ ユ ニット と 結合し, チロシンリン酸化を受けるドッキングタンパク質である (Fig. 1)<sup>31,32)</sup>. Gab-1 はその N 末端領域に細胞膜と結合する PH (pleckstrin homology) 領域を含み, ホスホイノシトール酸との結合を可能にする<sup>33,34)</sup>. さらに Gab-1 は HGF 受容体である c-Met と結合するドメインを含んでおり, c-Met の細胞質

側のホスホチロシン含有モチーフを介してタンパク質-タンパク質結合すると考えられている (Fig. 1) $^{32)}$ . Gab-1 はイヌ腎上皮細胞由来 MDCK 細胞の細胞間接着部位に局在していることが最近証明された $^{35)}$ . Gab-1 や PI3 キナーゼの PH 領域活性は Gab-1 の膜における局在が重要な役割を果たす $^{35)}$ . 我々は MDCK 細胞の細胞間接着部位において E-カドヘリンと c-Met は共に局在することを最近証明した $^{36,37)}$ . さらに HGF/SF や化学発癌剤の一種であるホルボールエステル (tetradecanoil phorbol acetate; TPA) は細胞間接着を破壊し, E-カドヘリンと c-Met のエンドサイトーシスによって細胞内に取り込まれ,細胞表面より消失する.このように Gab-1 とカドヘリン-カテニン系は互いに関連している可能性がある.

本研究において我々は、細胞間接着が Gab-1 のチロシンリン酸化を刺激し、この作用は E-カドヘリンと Src ファミリーキナーゼを介して発揮される可能性を示した (Fig. 1). このように、細胞間接着は増殖因子と同様に Gab-1 のシグナル伝達の下流の活性を調節していることが示唆された.

# **Cell-cell Junctions**



**Fig. 1.** Schematic illustration of the cell-cell adhesion site. In polarized epitherial cells, the cell-cell junction shows a specialized membrane stracture comprising tight junctions, adherens junctions, and desmosomes (show tight junction and adherens junction). At adherens junctions, cadherin, a Ca<sup>2+</sup>-dependent homophilic cell adhesion molecule, plays a fundamental role in cell-cell adhesion. The cadherin-catenin system may play an important role in the signal transduction system. For details, see text. Gab-1, Grb2 associated binder-1; Grb2, Growth factor receptor bound protein 2; MAPK; mitogen-activated protein kinase; PI3K, phosphatidyl inositol 3 kinase; SHP-2, Src homology 2-containing protein tyrosine phosphatase-2; TK, tyrosine kinase.

## 実験材料および方法

## 抗体

ヒトリコンビナント HGF/SF は中村敏一教授 (大阪大学大学院医学系研究科腫瘍生化学教室)より 供与された. 抗 Gab-1 ウサギポリクローナル抗体は, 平野俊夫教授(大阪大学大学院医学系研究科腫瘍病理 学教室)より供与され、また、Upstate Biotechnology (Lake Placid, NY, USA) より購入した. 抗 FLAGマ ウスモノクローナル抗体 (M2) は、Eastman Kodak (Rochester, NY, USA) より、ペルオキシダーゼ標識 抗チロシンリン酸化モノクローナル抗体 (PY20) は, Santa Cruz Biotechnology (Santa Cruz, CA, USA) より 購入した. 抗チロシンリン酸化 MAP キナーゼウサギ ポリクローナル抗体、抗 MAP キナーゼウサギポリク ローナル抗体, 抗セリンリン酸化 Akt ウサギポリク ローナル抗体, 抗 Akt ウサギポリクローナル抗体は, New England BioLabs (Beverly, MA, USA) より購入 した.

## 細胞培養及び遺伝子導入法

イヌ腎上皮細胞由来 MDCK 細胞は, Dr. W. Birchmeier (Max-Delbruck Center for Molecular Medicine, Berlin, Germany) より、マウス乳腺腫瘍 MTD-1A 細胞、マウス 表皮角化細胞 308R は、竹市雅俊教授(京都大学大学院 生命科学研究科多細胞体構築学教室)より供与された. MDCK 細胞,マウス乳腺腫瘍 MTD-1A 細胞,マウス 表皮角化細胞 308R は、10%非動化ウシ胎児血清含有 ダルベッコ改変イーグル培地 (Life Technologies, Inc., Lockville, MD, USA) に、100 units/ml ペニシリン、100  $\mu$ g/ml ストレプトマイシンを添加し、37°C、10% CO<sub>2</sub> 環境下で培養した. マウス線維芽細胞由来 L, CL, EL 細 胞は 月田承一郎教授(京都大学大学院医学研究科分子 細胞情報学教室) および, 永淵昭良教授 (熊本大学発生 医学研究センター) より供与された. これらの細胞は 10%非動化ウシ胎児血清添加ダルベッコ改変イーグル 培地で培養した.一過性遺伝子導入実験は、平野俊夫 教授(大阪大学大学院医学系研究科腫瘍病理学教室)よ り供与された FLAG 標識 Gab-1 ヒト cDNA を用いて 行なった<sup>38)</sup>. L, CL, EL 細胞を 10 cm 径組織培養ディッ シュに 1×10<sup>5</sup> 個播種し, 24 時間培養後, FLAG- 結合 Gab-1 cDNA 挿入をした. pCMV ベクター (Stratagene, La Jolla, CA, USA) 1 μg をリポフェクタミン・プラス試 薬 (Life Technologies, Inc.) を用いてリポフェクション 法にて遺伝子導入を行なった. リコンビナントアデノ ウイルス、Ax1CATcsk-ΔKは、岡田雅人教授(大阪大 学蛋白質研究所)より供与された. MDCK 細胞にアデ ノウイルスベクターを感染させ、高い導入効率が得ら れた<sup>39)</sup>. 遺伝子導入実験は大阪大学組換え DNA 実験安 全管理規程に基づいた.

# 免疫沈降反応とイムノブロッティング

10 cm 径組織培養ディッシュで培養した全て の細胞は、スクレーパーにて剥離し、回収後、 液体窒素にて凍結した. これを氷上にて1mM phenylmethylsulfonyl fluoride, 10  $\mu$ g/ml aprotinin, 1 mM sodium vanadate を含む冷溶解緩衝液 (20 mM Tris-HCl [pH 7.6], 140 mM NaCl, 2.6 mM CaCl<sub>2</sub>, 1 mM MgCl<sub>2</sub>, 1% Nonidet P-40, 10% glycerol) 1 ml で溶解 した. 全細胞溶解液は 4 °C , 10,000×g , 15 分間遠心後, 上清を免疫沈降反応とイムノブロットに供した. 上 清は抗 Gab-1 ポリクローナル抗体を結合させたプロ テイン G セファロースビーズ (2  $\mu$ g of Ab/20  $\mu$ l of beads) (Amersham Pharmacia Biotech, Piscataway, NJ, USA) と4℃下にて4時間反応させ免疫沈降した. 免 疫沈降したビーズは WG 緩衝液 (50 mM Hepes-NaOH [pH 7.6], 150 mM NaCl, 0.1% Triton X-100) 1 ml で 2 回洗浄することにより未結合物を除去し、SDS サンプ ル緩衝液に溶解後、SDS-ポリアクリルアミドゲルに て電気泳動した. ニトロセルロース膜に転写後、各々 の抗体を用いてイムノブロットし、ECL 化学発光キッ ト (Amersham Pharmacia Biotech) にて検出した.

## 試験管内における GST-Gab-1 のリン酸化

Gab-1 の COOH 末端 (421-694 アミノ酸) を含む GST 融合タンパク質は、グルタチオンセファロース ビーズ (Amersham Pharmacia Biotech) を用いて発現 と精製を行なった. GST 融合タンパク質  $(0.1 \mu g)$  を, グルタチオンセファロースビーズに結合させ、キナー ゼアッセイ緩衝液 (50 mM Hepes-NaOH [pH 7.6], 3 mM MnCl<sub>2</sub>, 10 mM MgCl<sub>2</sub>, 1 mM dithiothreitol)  $\mathcal{C}$ 2回洗い,10 mM ATP 存在下と非存在下で,キナー ゼアッセイ緩衝液 50 ml に 精製した Src キナーゼ (Upstate Biotechnology) を 24℃, 30 分間反応させた. この反応物を 4℃, 10,000×g, 5 分間で遠心した. 上清 に SDS サンプルバッファーを加え, 10 分間煮沸し, SDS-PAGE で解析した. GST 融合タンパク質のチロ シンリン酸化量は、ペルオキシダーゼ標識抗チロシン リン酸化モノクローナル抗体 PY20 を用いてイムノブ ロッティングにて解析した.

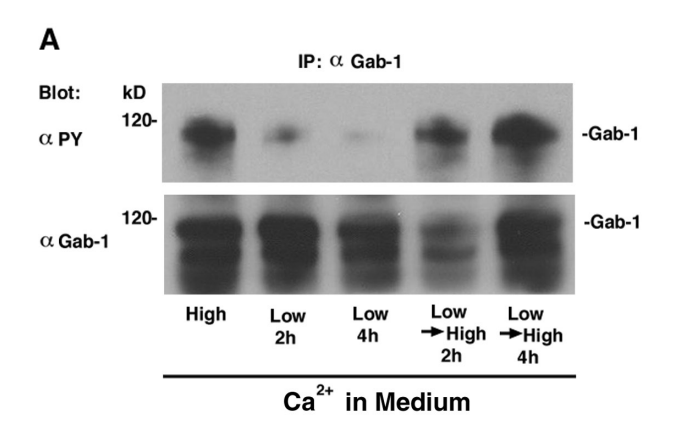
#### 結 果

# 細胞間接着による Gab-1 のチロシンリン酸化

MDCK 細胞を  $2 \text{ mMCa}^{2+}$ を含んだ無血清培地で 24 時間以上培養し、細胞の溶解液を抗 Gab-1 ポリクローナル抗体を用いて免疫沈降した。さらに抗チロシンリン酸化モノクローナル抗体 PY20 を用いてブロットしたところ、Gab-1 のチロシンリン酸化が認められた(Fig. 2A)。細胞培地の  $Ca^{2+}$  濃度を 2 mM から  $2 \mu M$  へ低下させた所( $Ca^{2+}$ スイッチ),MDCK 細胞間の接着は徐々に緩み始め, $Ca^{2+}$ スイッチから 4 時

T4 篠原 将彦

間後、単層培養の MDCK 細胞は完全に解離し単細胞になった $^{36,37, + 268}$ . Gab-1 のチロシンリン酸化は時間経過とともに減少し、 $Ca^{2+}$ スイッチを行なってから4時間後にはほとんど認められなくなった (Fig. 2A).



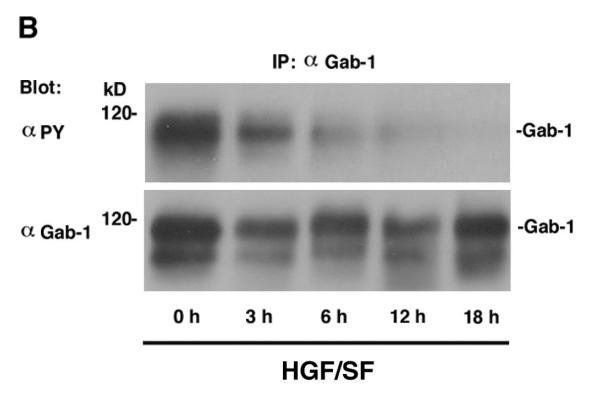


Fig. 2. Cell-cell adhesion-dependent tyrosine phosphorylation of Gab-1 in MDCK cells. A, MDCK cells were treated as indicated in the figure. The whole cell lysates were then subjected to immunoprecipitation (IP) with the anti-Gab-1 polyclonal Ab ( $\alpha Gab-1$ ), and the resulting immunoprecipitates were subjected to immunoblotting with the horseradish peroxidase-conjugated anti-phosphotyrosine mAb PY20 ( $\alpha$  PY) (upper panel). The same blot was reprobed with the anti- Gab-1 polyclonal Ab (lower panel) to ensure that similar amounts of endogenous Gab-1 were present in each lane. High, MDCK cells were deprived of serum for 12 h in medium containing 2 mM Ca2+. Low, MDCK cells were deprived of serum in the medium containing 2 mM Ca<sup>2+</sup> for 12 h and subsequently cultured in medium containing 2  $\mu$  M Ca<sup>2+</sup> for the indicated time. Low  $\rightarrow$  High, cells pretreated with 2  $\mu$  M Ca<sup>2+</sup> for 4 h were cultured further in the medium containing 2 mM Ca<sup>2+</sup> for the indicated time. B, serum-deprived MDCK cells were incubated in the presence or absence of 10 ng/ml HGF/SF for 0-18 h. The whole cell lysates were then subjected to immunoprecipitation with the anti- Gab-1 polyclonal Ab, and the resulting immunoprecipitates were subjected to immunoblotting with either the horseradish peroxidaseconjugated anti-phosphotyrosine mAb PY20 (upper panel) or the anti- Gab-1 polyclonal Ab (lower panel). The results shown are representative of three independent experiments.

MDCK 細胞を 4 時間,2  $\mu$ MCa<sup>2+</sup>で培養後,培地の Ca<sup>2+</sup>濃度を 2 mM に上昇させた所,Gab-1 のチロシン リン酸化に伴い (Fig. 2A),分離していた細胞はしだいに細胞間接着を形成した (Fig. 2A)<sup>未発表)</sup>.

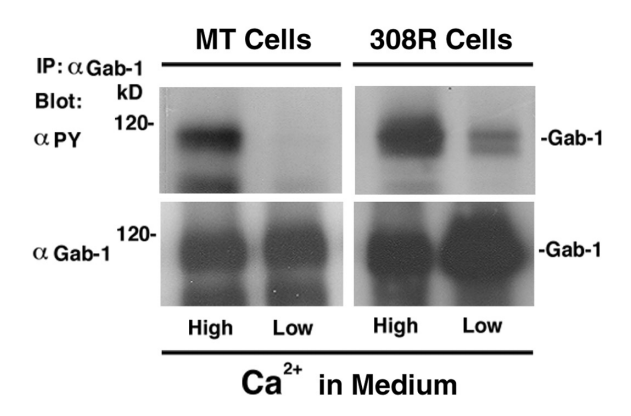
敷石状の単層コロニーを形成している MDCK 細胞を HGF/SF で刺激すると、細胞は伸展し、周囲に分散した $^{40,41)}$ . HGF/SF による細胞の分離は 2 mMCa $^{2+}$ 濃度の培地でも Gab-1 のチロシンリン酸化を同様に減少させた (Fig. 2B). MDCK 細胞と同様に、Gab-1 のチロシンリン酸化は 2 mMCa $^{2+}$ を含んだ無血清培地でマウス乳腺腫瘍細胞 MTD-1A とマウス表皮角化細胞308R で共に認められた (Fig. 3). さらに、Gab-1 のチロシンリン酸化の低下は、低 Ca $^{2+}$ 濃度下で、細胞間接着の破綻を起こしたこれらの細胞株においても認められた. (Fig. 3). 308R 細胞を HGF/SF で刺激すると同様に細胞は分散し、Gab-1 のチロシンリン酸化は減少した $^{**25}$ . これらの結果から可逆的な細胞間接着は Gab-1 のチロシンリン酸化を引き起こすと考えられた.

# <u>細胞間接着による Gab-1 のチロシンリン酸化における E-カドへリンの関与</u>

E-カドヘリンによる細胞間接着活性を阻害する抗 E-カドヘリンモノクローナル抗体存在下で、MDCK 細胞の培地の  $Ca^{2+}$ 濃度を  $2 \mu M$  から 2 mM へ上昇さ せたところ、細胞間接着は回復せず、Gab-1のチロシ ンリン酸化は喪失した (Fig. 4A). そこで, E-カドヘリ ン発現の有無による Gab-1 のチロシンリン酸化を検 討した.  $2 \text{ mMCa}^{2+}$ 濃度の培地で、E-カドヘリンが発 現していない L細胞と、L細胞にタイトジャンクショ ンストランド構造の重要な膜蛋白であるクローディ ンを強制発現させた CL 細胞<sup>42)</sup> では、最小限の Gab-1 のチロシンリン酸化しか発現していなかった. 一方, L細胞にヒトE-カドヘリンが発現したEL細胞<sup>43)</sup> では、Gab-1のチロシンリン酸化がより高度に発現し ていた (Fig. 4B). MDCK 細胞を 2  $\mu$  MCa<sup>2+</sup>で 2 時間 前処理し、更にTPAを添加し培養すると、E-カドへ リンやβ-カテニンではない ZO-1 の集積によるタイ トジャンクション構造が得られる44). そこで、同様に MDCK 細胞を 2 μMCa<sup>2+</sup>の低濃度で培養し, TPA を 加えた所, Gab-1のチロシンリン酸化は再び増加しな かった (Fig. 4C). これらの結果から細胞間接着によ る Gab-1 のチロシンリン酸化は E-カドヘリンを介し ていると考えられる.

# <u>細胞間接着による Gab-1 のチロシンリン酸化における Src ファミリーキナーゼの関与</u>

次に、細胞間接着による Gab-1 のチロシンリン酸化の機構を詳細に検討するため、Src ファミリーキナーゼの選択的な阻害剤である、4-amino-5-



**Fig. 3.** Cell-cell adhesion-dependent tyrosine phosphorylation of Gab-1 in MTD-1A cells or 308R cells. MTD-1A (*MT*) cells or 308R cells were treated as indicated in the figure. The whole cell lysates were then subjected to immunoprecipitation (*IP*) with the anti-Gab-1 polyclonal Ab ( $\alpha$  Gab-1), and the resulting immunoprecipitates were subjected to immunoblotting with either the horseradish peroxidase-conjugated anti-phosphotyrosine mAb PY20 ( $\alpha$  PY, upper panels) or the anti-Gab-1 polyclonal Ab (lower panels). High, cells were deprived of serum for 12 h in the medium containing 2 mM Ca<sup>2+</sup>. Low, cells were deprived of serum in the medium containing 2 mM Ca<sup>2+</sup> for 12 h and subsequently cultured in the medium containing 2  $\mu$  M Ca<sup>2+</sup> for 4 h. The results shown are representative of three independent experiments.

(4-methylphenyl)-7-(t-butyl)pyrazolo[3,4-D]pyrimidine の効果を調べた<sup>45)</sup>. 4-amino-5-(4-methylphenyl)-7-(t-butyl) pyrazolo[3,4-D]pyrimidine は 2 mMCa<sup>2+</sup>培地 で Gab-1 のチロシンリン酸化を著明に減少させる (Fig. 5A). そこで MDCK 細胞で Csk (C-terminal Src kinase) のキナーゼを不活化したドミナントネガティ ブに働く変異体 (Csk-ΔK)<sup>39)</sup> を強制発現させ、Gab-1 のチロシンリン酸化への効果を調べた. Csk は Src 様 のチロシンキナーゼで、C末端のチロシン残基のリ ン酸化を触媒することにより、Src ファミリーキナー ゼ活性を阻害する<sup>46,47)</sup>. MDCK 細胞での Csk-ΔKの 発現にはリコンビナントアデノウイルスベクターを 使用した<sup>39)</sup>. MDCK細胞にAx1CAT-lacZ, または,  $Ax1CAT-csk-\Delta K$  を感染させた (Fig. 5B). 2 mMCa<sup>2+</sup> 培地でコントロールの細胞に Csk-ΔK を発現させ た所, Gab-1 のチロシンリン酸化は著明に増加した (Fig. 5B). 5個のチロシン残基 (Tyr-447, Tyr-472, Tyr-589, Tyr-627, Tyr-659) を含む Gab-1 の C 末端の GST 融合タンパク質は Src キナーゼによりチロシンリ ン酸化された\*発表). これらの結果から、細胞間接着に よる Gab-1 のチロシンリン酸化に Src ファミリーキ ナーゼの関与が推測される.

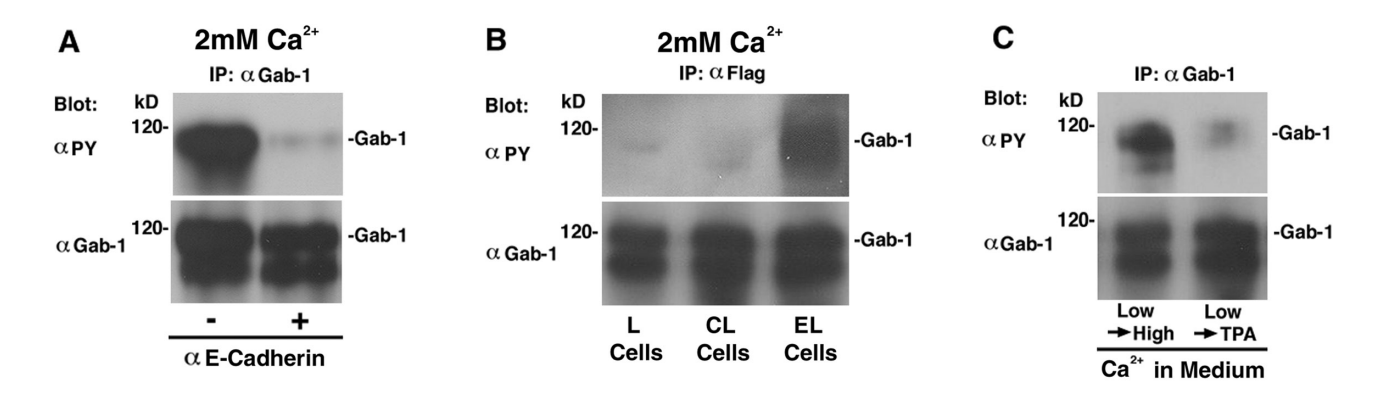


Fig. 4. E-Cadherin-dependent tyrosine phosphorylation of Gab-1. A, serum-deprived MDCK cells were cultured in the medium containing 2  $\mu$  M Ca<sup>2+</sup> for 4 h and then cultured further in the medium containing 2 mM Ca<sup>2+</sup> for 2 h in the presence or absence of the anti-Ecadherin mAb Arc-1 ( $\alpha$  E-Cadherin). The whole cell lysates were then subjected to immunoprecipitation (IP) with the anti-Gab-1 polyclonal Ab ( $\alpha$  Gab-1), and the resulting immunoprecipitates were subjected to immunoblotting with either the horseradish peroxidase-conjugated anti- phosphotyrosine mAb PY20 (\$\alpha\$ PY, upper panel) or the anti-Gab-1 polyclonal Ab (lower panel). B, L, CL, and EL cells were transfected with pCMVFLAG-Gab-1. At 48 h after transfection, these cells were serum deprived in the medium containing 2 mM Ca<sup>2+</sup>, and the whole cell lysates prepared from the cells were subjected to immunoprecipitation with anti-FLAG mAb (\$\alpha\$ FLAG). The resulting immunoprecipitates were subjected to immunoblotting with either the horseradish peroxidase-conjugated anti-phosphotyrosine mAb PY20 (upper panel) or the anti-Gab-1 polyclonal Ab (lower panel). C, MDCK cells were treated as indicated in the figure. The whole cell lysates were then subjected to immunoprecipitation with the anti-Gab-1 polyclonal Ab, and the resulting immunoprecipitates were subjected to immunoblotting with either the horseradish peroxidase-conjugated anti-phosphotyrosine mAb PY20 (upper panel) or the anti-Gab-1 polyclonal Ab (lower panel). Low  $\rightarrow$  High, MDCK cells were deprived of serum in the medium containing 2 mM Ca<sup>2+</sup> for 12 h and subsequently cultured in the medium containing 2  $\mu$  M Ca<sup>2+</sup> for 4 h. The cells were cultured further in the medium containing 2 mM Ca<sup>2+</sup> for 2 h. Low  $\rightarrow$  TPA, cells pretreated with 2  $\mu$  M Ca<sup>2+</sup> for 4 h were cultured further in the medium containing 2  $\mu$  M Ca<sup>2+</sup> and 100 nM TPA for 2 h. The results shown are representative of three independent experiments.

T6 篠原 将彦

# <u>細胞間接着による Gab-1 の下流へのシグナルに及ぼ</u> す影響

培地の $Ca^{2+}$ 濃度を下げることにより、Gab-1のチ ロシンリン酸化は著明に減少した (Fig. 6A). 細胞溶 解液を抗チロシンリン酸化 MAP キナーゼポリクロー ナル抗体によってイムノブロットし、MAPキナーゼ 活性を調べた. 刺激が加わっていない MDCK 細胞を 2 mMCa<sup>2+</sup>培地で培養したところ, MAP キナーゼ活 性を認めた (Fig. 6B). 対照的に, 2 mMCa<sup>2+</sup>培地と比 較して、低 Ca<sup>2+</sup>濃度の培地においては MAP キナーゼ 活性は低下した (Fig. 6B). チロシンリン酸化された Gab-1 は PI3 キナーゼと結合し<sup>48,49)</sup>, PI3 キナーゼの 下流の Akt/PKB キナーゼを続いて活性化することが 報告されている<sup>50)</sup>. このため, 低 Ca<sup>2+</sup>濃度の培地で培 養した細胞の溶解液を、抗セリンリン酸化 Akt ポリク ローナル抗体でイムノブロットし、Akt 活性を調べた. その結果,何も刺激の加わっていない MDCK 細胞 を 2 mMCa<sup>2+</sup>培地で培養した場合、Akt 活性が認めら れたのに対し、低 Ca<sup>2+</sup>濃度の培地で培養した場合、 Akt 活性は著明に低下した (Fig. 6C). 以上の事から, Gab-1のチロシンリン酸化を通した MAP キナーゼと Akt 活性は、細胞間接着と関係していると考えられる.

## 考察

本研究では、上皮細胞の培養系を用いて、細胞間 接着による可逆的な Gab-1 のチロシンリン酸化を示 した. Gab-1 のチロシンリン酸化はカドヘリン非発現 細胞と比較してカドヘリン発現細胞で著明に増加して おり、MDCK 細胞においては、抗 E-カドヘリンモノ クローナル抗体は Gab-1 のチロシンリン酸化を著明 に低下させた. したがって、細胞間接着は E-カドヘリ ン依存性に Gab-1 のチロシンリン酸化を引き起こし ていると考えられる. β-カテニン, γ-カテニン, p120 カテニン等のタンパク質は全てアドヘレンスジャン クションに局在しており、チロシンリン酸化されるこ とが報告されている<sup>20-22)</sup>. しかし, これらのチロシン リン酸化の機序は全て明らかになっているわけでは ない. このため、Gab-1は、アドヘレンスジャンクショ ンに局在し、細胞間接着によってチロシンリン酸化さ れるタンパク質の新しいメンバーと考えられる.

次に細胞間接着が Gab-1 のチロシンリン酸化を刺激する機序を調べた. 4-amino-5-(4-methylphenyl)-7-(t-butyl) pyrazolo[3,4-D]pyrimidine は Src ファミリーキナーゼの選択的阻害剤であり, Gab-1 のチロシンリン酸化を減少させるが, Csk のドミナントネガティブ変異体の発現は Gab-1 のチロシンリン酸化を増加させた. これらの結果から, Src ファミリーキナーゼは,細胞間接着による Gab-1 のチロシンリン酸化の少なくとも一部を担っていると考えられる. 実際, Src ファミリーキナーゼはアドヘレンスジャンクションに認め

られ<sup>51</sup>, β-カテニン, γ-カテニン, p120 カテニン等の アドヘレンスジャンクションタンパク質のチロシンリン酸化は,マウス表皮角化細胞で細胞間接着に反応して増加することが報告されている<sup>30</sup>.対照的に,非受

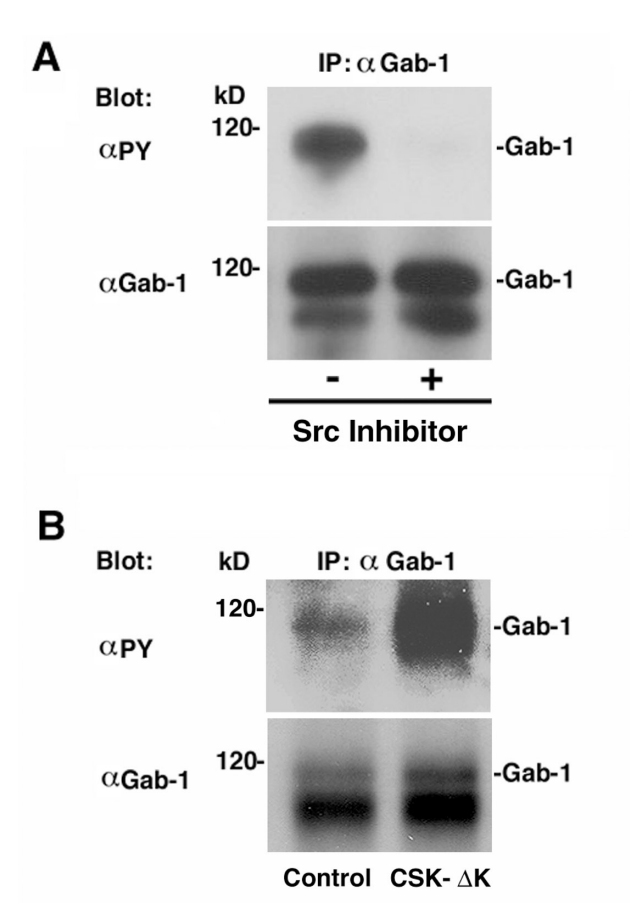
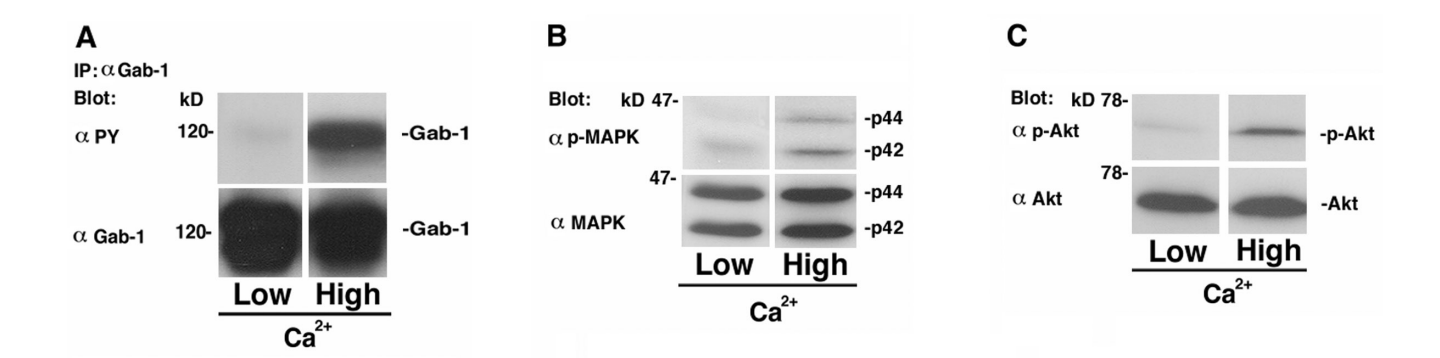


Fig. 5. Effect of an inhibitor for Src family kinases or expression of a dominant-negative mutant of Csk on the tyrosine phosphorylation of Gab-1. A, serum-deprived MDCK cells were cultured at 2µM Ca<sup>2+</sup> for 4 h with or without 1μM 4-amino-5-(4-methylphenyl)-7-(t-butyl)pyrazolo[3, 4-D]pyrimidine (Src Inhibitor), a compound reported to act as a relatively selective inhibitor of Src family kinases, for 30 min, and then cultured further at 2 mM Ca<sup>2+</sup> for 2 h. The whole cell lysates were then subjected to immunoprecipitation (IP) with the anti-Gab-1 polyclonal Ab ( $\alpha Gab-1$ ), and the resulting immunoprecipitates were subjected to immunoblotting with either the horseradish peroxidaseconjugated anti-phosphotyrosine mAb PY20 ( \alpha PY, upper panel) or the anti-Gab-1 polyclonal Ab (lower panel). B, MDCK cells were infected with either Ax1CAT-lacZ (Control) or Ax1CAT-csk- $\Delta$ K (CSK- $\Delta$ K) at 100 multiplicity of infection. At 48 h after the transfection, the infected MDCK cells in the meduim containing 2 mM Ca<sup>2+</sup> were subjected to immunoprecipitation with the anti-Gab-1 polyclonal Ab, and the resulting immunoprecipitates were subjected to immunoblotting with either the horseradish peroxidaseconjugated anti-phosphotyrosine mAb PY20 (upper panel) or the anti-Gab-1 polyclonal Ab (*lower panel*). The results shown are representative of three independent experiments.



**Fig. 6.** Effects of cell-cell adhesion on the downstream signaling of Gab-1. A, serum-deprived MDCK cells were treated as indicated in the figure. The whole cell lysates were then subjected to immunoprecipitation (IP) with the anti-Gab-1 polyclonal Ab ( $\alpha \, Gab$ -1), and the resulting immunoprecipitates were subjected to immunoblotting with the horseradish peroxidase-conjugated anti-phosphotyrosine mAb PY20 ( $\alpha \, PY$ ,  $upper \, panel$ ) or the anti-Gab-1 polyclonal Ab ( $lower \, panel$ ). High, MDCK cells were deprived of serum for 12 h in the medium containing 2 mM Ca<sup>2+</sup>. Low, MDCK cells were deprived of serum in the medium containing 2 mM Ca<sup>2+</sup> for 12 h and subsequently cultured in the medium containing 2  $\mu$  M Ca<sup>2+</sup> for 4 h. B, the whole cell lysates were subjected to immunoblotting with either the anti-tyrosine-phosphorylated-MAP kinase polyclonal Ab ( $\alpha \, p$ -MAPK,  $upper \, panel$ ) or the anti-MAP kinase polyclonal Ab ( $\alpha \, MAPK$ ,  $lower \, panel$ ). C, the whole cell lysates were also subjected to immunoblotting with either the antiserine-phosphorylated-Akt polyclonal Ab ( $\alpha \, P$ -Akt,  $upper \, panel$ ) or the anti-Akt polyclonal Ab ( $\alpha \, Akt$ ,  $lower \, panel$ ). The results shown are representative of three independent experiments.

容体型チロシンキナーゼで、Src ファミリーに属する fyn を欠損させた表皮角化細胞では、これらのアドヘレンスジャンクションタンパク質のチロシンリン酸化は著明に減少しており、チロシンキナーゼ阻害剤と同じように細胞間接着の構造的、機能的異常が認められる。このため、Src ファミリーキナーゼは細胞間接着によるアドヘレンスジャンクションタンパク質のチロシンリン酸化の調節に関わっていると考えられる。

本研究では、細胞間接着による Gab-1 のチロシンリン酸化と、細胞間接着による MAP キナーゼと Akt 活性は相関していることを示した。 E-カドヘリン依存性の細胞間接着構造による Akt の活性化は MDCK 細胞で報告されている $^{52}$ )。また, E-カドヘリンによる細胞間接着は様々な細胞で生存を延長することが報告されている $^{53}$ )。更に,Ras/MAP キナーゼと PI3 キナーゼ/Akt カスケードが細胞の生存に関係していることも示唆されている $^{55}$ )。 我々の知見は, E-カドヘリンによる細胞間接着は Gab-1 のチロシンリン酸化を刺激し,Ras/MAP キナーゼと PI3 キナーゼ/Akt カスケードを活性化する興味深いことを示しており,この機序が細胞間接着による細胞の生存に関わっている可能性が考えられる。

しかし、E-カドヘリン依存性の細胞間接着が Srcファミリーキナーゼによる Gab-1 のチロシンリン酸化をどのように引き起こすのかは未だ明らかにされていない。E-カドヘリンによる細胞間接着は Src ファミリーキナーゼを活性化することができる。E-カドヘリン依存性の細胞間接着は Gab-1 が局在している場所

にこのキナーゼを集合させる。事実、細胞外マトリックスのインテグリンの結合が、Src キナーゼによって裏打ちタンパク質群のチロシンリン酸化を誘導する。これは、細胞外マトリックスへ結合したインテグリンが、接着班関連チロシンキナーゼである FAK(focal adhesion kinase)と結合することにより、インテグリンを基軸として裏打ちタンパク質が集積し接着班を形成するためにおこると報告されている<sup>56)</sup>. 今後、E-カドヘリンによる細胞間接着が Gab-1 のチロシンリン酸化を導く分子機構を明らかにする必要がある。

#### 路 樵

本稿を終えるにあたり、御指導、御校閲を賜りました埼玉医科大学総合医療センター第一内科学教室吉田行雄教授に深謝いたします。また、実験の実施に際し御協力いただいた大阪大学大学院医学系研究科生態制御医学生化学・分子生物学教室高井義美教授、中西宏之助教授並びに、本研究を直接御指導いただきました群馬大学生体調節研究所附属生理活性物質センター的崎尚教授に心より感謝いたします。最後に、埼玉医科大学総合医療センター第一内科学教室の教室員の皆様、実験助手伴場裕巳博士に厚く御礼申し上げます。

### 文 献

1) Takeichi M. The cadherins: cell-cell adhesion molecules controlling animal morphogenesis. Development 1988; 102: 639-55.

T8 篠原 将彦

2) Takeichi M. Cadherin cell adhesion receptors as a morphogenetic regulator. Science 1991; 251: 1451-5.

- 3) Luna EJ, Hitt AL. Cytoskeleton-plasma membrane interactions. Science 1992; 258: 955-64.
- 4) Jockusch BM, Bubeck P, Giehl K, Kroemker M, Moschner J, Winkler J, et al. The molecular architecture of focal adhesions. Annu Rev Cell Dev Biol 1995; 11: 379-416.
- 5) Gumbiner B. M. Cell adhesion: the molecular basis of tissue architecture and morphogenesis. Cell 1996; 84: 345-57.
- 6) Takeichi M. Morphogenetic roles of classic cadherins. Curr Opin Cell Biol 1995; 7: 619-27.
- 7) Shapiro L, Fannon AM, Kwong PD, Thompson A, Lehmann MS, Hendrickson WA, et al. Structural basis of cell-cell adhesion by cadherins. Nature 1995; 374: 327-37.
- 8) Nagar B, Overduin M, Ikura M, Rini JM. Structural basis of calcium-induced E-cadherin rigidification and dimerization. Nature 1996; 380: 360-4.
- 9) Tomschy A, Fauser C, Landwehr R, Engel J. Homophilic adhesion of E-cadherin occurs by a co-operative two-step interaction of N-terminal domains. EMBO J 1996; 15: 3507-14.
- 10) Tamura K, Shan WS, Hendrickson WA, Colman DR, Shapiro L. Structure-function analysis of cell adhesion by neural (N-) cadherin. Neuron 1998; 20: 1153-63.
- 11) Pertz O, Bozic D, Koch AW, Fauser C, Brancaccio A, Engel J. A new crystal structure, Ca<sup>2+</sup> dependence and mutational analysis reveal molecular details of E-cadherin homoassociation. EMBO J 1999; 18: 1738-47.
- 12) Rimm DL, Koslov ER, Kebriaei P, Cianci CD, Morrow JS. *α* 1(E) -catenin is an actin-binding and -bundling protein mediating the attachment of F-actin to the membrane adhesion complex. Proc Natl Acad Sci U. S. A. 1995; 92: 8813-7.
- 13) Knudsen KA, Soler AP, Johnson KR, Wheelock MJ. Interaction of  $\alpha$ -actinin with the cadherin/catenin cell-cell adhesion complex via  $\alpha$ -catenin. J Cell Biol 1995; 130: 67-77.
- 14) Nieset JE, Redfield AR, Jin F, Knudson KA, Johnson KR, Wheelock MJ. Characterization of the interactions of  $\alpha$  -catenin with  $\alpha$ -actinin and  $\beta$  -catenin/plakoglobin. J Cell Sci 1997; 110: 1013-22.
- 15) Watabe-Uchida M, Uchida N, Imamura Y, Nagafuchi A, Fujimoto K, Takeichi M, et al.  $\alpha$ -Catenin-vinculin interaction functions to organize the apical junctional complex in epithelial cells. J Cell

- Biol 1998; 142: 847-57.
- 16) Imamura Y, Itoh M, Maeno M, Tsukita S, Nagafuchi A. Functional domains of  $\alpha$ -catenin required for the strong state of cadherin-based cell adhesion. J Cell Biol 1999; 144: 1311-22.
- 17) Itoh M, Nagafuchi A, Moroi S, Tsukita S. Involvement of ZO-1 in cadherin-based cell adhesion through its direct binding to α-catenin and actin filaments. J Cell Biol 1997; 138: 181-92.
- 18) Gumbiner BM. Regulation of cadherin adhesive activity. J Cell Biol 2000; 148: 399-403.
- 19) Polakis P. Wnt signaling and cancer. Genes Dev 2000; 14: 1837-51.
- 20) Matsuyoshi N, Hamaguchi M, Taniguchi S, Nagafuchi A, Tsukita S, Takeichi M. Cadherin-mediated cell-cell adhesion is perturbed by v-src tyrosine phosphorylation in metastatic fibroblasts. J Cell Biol 1992; 118: 703-14.
- 21) Behrens J, Vakaet L, Friis R, Winterhager E, van Roy F, Birchmeier W, et al. Loss of epithelial differentiation and gain of invasiveness correlates with tyrosine phosphorylation of the E-cadherin/beta-catenin complex in cells transformed with a temperature-sensitive *v-Src* gene. J Cell Biol 1993; 120: 757-66.
- 22) Hamaguchi M, Matsuyoshi N, Ohnishi Y, Gotoh B, Takeichi M, Nagai Y. p60*v-Src* causes tyrosine phosphorylation and inactivation of the N-cadherincatenin cell adhesion system. EMBO J 1993; 12: 307-14.
- 23) Shibamoto S, Hayakawa M, Takeuchi K, Hori T, Oku N, Ito F, et al. Tyrosine phosphorylation of  $\beta$  -catenin and plakoglobin enhanced by hepatocyte growth factor and epidermal growth factor in human carcinoma cells. Cell Adhes Commun 1994; 1: 295-305.
- 24) Hoschuetzky H, Aberle H, Kemler R.  $\beta$ -catenin mediates the interaction of the cadherin-catenin complex with epidermal growth factor receptor. J Cell Biol 1994; 127: 1375-80.
- 25) Ochiai A, Akimoto S, Kanai Y, Shibata T, Oyama T, Hirohashi S. *c-erbB-2* gene product associates with catenins in human cancer cells. Biochem Biophys Res Commun 1994; 205: 73-8.
- 26) Brady-Kalnay SM, Rimm DL, Tonks NK. Receptor protein tyrosine phosphatase PTPmu associates with cadherins and catenins in vivo. J Cell Biol 1995; 130: 977-86.
- 27) Balsamo J, Leung T, Ernst H, Zanin MK, Hoffman S, Lilien J. Regulated binding of PTP1B-

- like phosphatase to N-cadherin: control of cadherin-mediated adhesion by dephosphorylation of  $\beta$ -catenin. J Cell Biol 1996; 134: 801-13.
- 28) Kypta RM, Su H, Reichardt LF. Association between a transmembrane protein tyrosine phosphatase and the cadherin-catenin complex. J Cell Biol 1996; 134: 1519-29.
- 29) Lampugnani MG, Corada M, Andriopoulou P, Esser S, Risau W, Dejana E. Cell confluence regulates tyrosine phosphorylation of adherens junction components in endothelial cells. J Cell Sci 1997; 110: 2065-77.
- 30) Calautti E, Cabodi S, Stein PL, Hatzfeld M, Kedersha N, Paolo Dotto G. Tyrosine phosphorylation and Src family kinases control keratinocyte cell-cell adhesion. J Cell Biol 1998; 141: 1449-65.
- 31) Holgado-Madruga M, Emlet DR, Moscatello DK, Godwin AK, Wong AJ. A Grb2-associated docking protein in EGF- and insulin-receptor signalling. Nature 1996; 379: 560-4.
- 32) Weidner KM, Di Cesare S, Sachs M, Brinkmann V, Behrens J, Birchmeier W. Interaction between Gab1 and the c-Met receptor tyrosine kinase is responsible for epithelial morphogenesis. Nature 1996; 384: 173-6.
- 33) Musacchio A, Gibson T, Rice P, Thompson J, Saraste M. The PH domain: a common piece in the structural patchwork of signalling proteins. Trends Biochem Sci 1993; 18: 343-8.
- 34) Lemmon MA, Ferguson KM. Signal-dependent membrane targeting by pleckstrin homology (PH) domains. Biochem J 2000; 15: 1-18.
- 35) Maroun CR, Holgado-Madruga M, Royal I, Naujokas MA, Fournier TM, Park M, et al. The Gab1 PH domain is required for localization of Gab1 at sites of cell-cell contact and epithelial morphogenesis downstream from the met receptor tyrosine kinase. Mol Cell Biol 1999; 19: 1784-99.
- 36) Kartenbeck J, Schmelz M, Franke WW, Geiger B. Endocytosis of junctional cadherins in bovine kidney epithelial (MDBK) cells cultured in low Ca<sup>2+</sup> ion medium. J Cell Biol 1991; 113: 881-92.
- 37) Kamei T, Matozaki T, Sakisaka T, Kodama A, Yokoyama S, Takai Y, et al. Coendocytosis of cadherin and c-Met coupled to disruption of cellcell adhesion in MDCK cells-regulation by Rho, Rac and Rab small G proteins. Oncogene 1999; 18: 6776-84.
- 38) Takahashi-Tezuka M, Yoshida Y, Fukada T, Ohtani T, Yamanaka Y, Hirano T. Gab1 acts as an adapter

- molecule linking the cytokine receptor gp130 to ERK mitogen-activated protein kinase. Mol Cell Biol 1998; 18: 4109-17.
- 39) Takayama Y, Tanaka S, Nagai K, Okada M. Adenovirus-mediated overexpression of C-terminal Src kinase (Csk) in type I astrocytes interferes with cell spreading and attachment to fibronectin. Correlation with tyrosine phosphorylations of paxillin and FAK. J Biol Chem 1999; 274: 2291-7.
- 40) Imamura H, Takaishi K, Nakano K, Kodama A, Oishi H, Takai Y. Rho and Rab small G proteins coordinately reorganize stress fibers and focal adhesions in MDCK cells. Mol Biol Cell 1998; 9: 2561-75.
- 41) Kodama A, Matozaki T, Fukuhara A, Kikyo M, Ichihashi M, Takai Y. Involvement of an SHP-2-Rho small G protein pathway in hepatocyte growth factor/scatter factor-induced cell scattering. Mol Biol Cell 2000; 11: 2565-75.
- 42) Furuse M, Sasaki H, Fujimoto K, Tsukita S. A single gene product, claudin-1 or -2, reconstitutes tight junction strands and recruits occludin in fibroblasts. J Cell Biol 1998; 143:391-401.
- 43) Nagafuchi A, Shirayoshi Y, Okazaki K, Yasuda K, Takeichi M. Transformation of cell adhesion properties by exogenously introduced E-cadherin cDNA. Nature 1987; 329: 341-3.
- 44) Balda MS, Gonzalez-Mariscal L, Matter K, Cereijido M, Anderson JM. Assembly of the tight junction: the role of diacylglycerol. J Cell Biol 1993; 123: 293-302.
- 45) Daub H, Wallasch C, Lankenau A, Herrlich A, Ullrich A. Signal characteristics of G protein-transactivated EGF receptor. EMBO J 1997; 16: 7032-44.
- 46) Nada S, Okada M, MacAuley A, Cooper JA, Nakagawa H. Cloning of a complementary DNA for a protein-tyrosine kinase that specifically phosphorylates a negative regulatory site of p60c-src. Nature 1991; 351: 69-72.
- 47) Okada M, Nada S, Yamanashi Y, Yamamoto T, Nakagawa H. CSK: a protein-tyrosine kinase involved in regulation of Src family kinases. J Biol Chem 1991; 266: 24249-52.
- 48) Royal L, Park M. Hepatocyte growth factor-induced scatter of Madin-Darby canine kidney cells requires phosphatidylinositol 3-kinase. J Biol Chem 1995; 270: 27780-7.
- 49) Khwaja A, Lehmann K, Marte M, Downward J. Phosphoinositide 3-kinase induces scattering and

**T10** 篠原 将彦

tubulogenesis in epithelial cells through a novel pathway. J Biol Chem 1998; 273: 18793-801.

- 50) Marte BM, Downward J. PKB/Akt: connecting phosphoinositide 3-kinase to cell survival and beyond. Trends Biochem Sci 1997; 22: 355-8.
- 51) Tsukita S, Oishi K, Akiyama T, Yamanashi Y, Yamamoto T, Tsukita S. Specific proto-oncogenic tyrosine kinases of src family are enriched in cell-to-cell adherens junctions where the level of tyrosine phosphorylation is elevated. J Cell Biol 1991; 113: 867-79
- 52)Pece S, Chiariello M, Murga C, Gutkind JS. Activation of the protein kinase Akt/PKB by the formation of E-cadherin-mediated cell-cell junctions. Evidence for the association of phosphatidylinositol 3-kinase with the E-cadherin adhesion complex. J Biol Chem 1999; 274: 19347-51.
- 53) Kantak SS, Kramer RH. E-cadherin regulates

- anchorage-independent growth and survival in oral squamous cell carcinoma cells. J Biol Chem 1998; 273: 16953-61.
- 54) Miller JR, Moon RT. Signal transduction through  $\beta$ -catenin and specification of cell fate during embryogenesis. Genes Dev 1996; 10: 2527-39.
- 55) Datta SR, Brunet A, Greenberg ME. Cellular survival: a play in three Akts. Genes Dev 1999; 13: 2905-27.
- 56) Schlaepfer DD, Hanks SK, Hunter T, van der Geer P. Integrin-mediated signal transduction linked to Ras pathway by Grb2 binding to focal adhesion kinase. Nature 1994; 372: 786-91.
- 57) Shinohara M, Kodama A, Matozaki T, Fukuhara A, Tachibana K, Nakanishi H, et al. Roles of cell-cell adhesion-dependent tyrosine phosphorylation of Gab-1. J Biol Chem 2001; 276: 18941-6.

© 2003 The Medical Society of Saitama Medical School